

V-396

塩害を受けたPC桁の耐荷性状

建設省土木研究所 正会員 田中良樹 同 正会員 渡辺博志
同 正会員 河野広隆 同 正会員 鈴木雅博

1. まえがき

塩害を受けた既設PC橋の補修、補強、架替を検討する際、橋の残存耐荷力の評価が求められるが、塩害を受けたPC桁の耐荷性状は明確でなく、残存耐荷力の適切な評価は難しいのが現状である。このことから、今回、日本海沿岸部に26年間曝され、腐食により2~3本のPC鋼材が欠損したプレテンション方式PC桁を用いて載荷試験を行い、塩害を受けたPC桁の耐荷性状について検討を行った。

2. 供試体

図-1に試験に用いた2本のPC桁B-1, B-2の基本断面形状を示す。このPC桁は暴露後13年で腐食によるPC鋼材の欠損が生じていたため、はつり、錆落しの後、エポキシ樹脂系プレバウドコンクリートにより断面を修復し、さらにコンクリート塗装を施していた。載荷試験の時点では、再び橋軸方向の大きなひび割れが発生していた。コンクリートの設計基準強度は500kgf/cm²、PC鋼より線はT9.3、7本よりで、引張強度175kgf/mm²(規格値)である。

外観目視によると、下フランジに橋軸方向に連続した大きなひび割れが発生していた。そのひび割れは、支点から支間中央まで桁の片側半分のみに見られ、残りの部分に大きなひび割れは見られなかった。ウェブには、数箇所のスターラップの位置にコンクリートのはがれが見られた。これらのひび割れ、はがれはいずれも鋼材の腐食によるものと考えられる。通し筋φ9.5mm、上フランジには腐食によると考えられる損傷は見られなかった。これらの外観はB-1, B-2ともに概ね同様の傾向である。

載荷試験後、下フランジの破断位置付近のコンクリートを除去し、PC鋼材の腐食状況を確認した。図-2にB-1, B-2のそれぞれの破壊位置での腐食及び補修の状況を示す。B-1はPC鋼材No.3, 7, 8の3本が腐食でほとんど消失していた。また、B-2はNo.3, 8の2本が腐食でほとんど消失していた。

3. 載荷試験

載荷試験は2点載荷とした。支間及びせん断スパンは表-1のとおりである。B-2は端部を切り落とし、片側のせん断スパンの範囲に損傷の著しい箇所を配置した。下面及びウェブのひび割れ発生は、塗装を除去した上で取り付けたπ型変位計により監視した(ウェブはB-2のみ)。中立軸を確認するため、支間中央断面にひずみゲージを貼り付けた。また、曲率を把握するため、載荷点直下2箇所に傾斜計を設置した。

4. 結果

図-3にB-1, B-2の曲げモーメントと曲率の関係を示す。また、図中には腐食なしとした場合及び3本のPC鋼材(No.3, 7, 8)が欠損した場合の計算結果を示す。ただし、計算結果の終局曲げモーメントは道路橋示方書^①による破壊抵抗曲げモーメントとした。B-1はせん断ひび割れは確認されず、最大荷重発生後、下フランジのPC鋼材が破断することによって終局に至った。B-2はせん断ひび割れが発生したが、B-1と同様

キーワード：塩害、プレストレストコンクリート、耐荷力

連絡先：305-0804 つくば市旭1、tel. 0298-64-4895、fax. 0298-64-4464

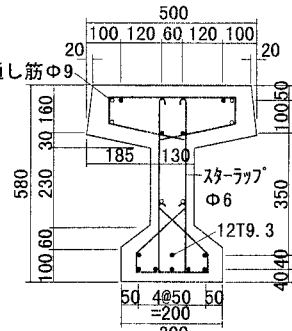


図-1 供試体の断面寸法

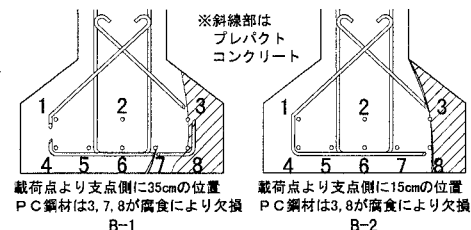


図-2 PC鋼材破断位置の腐食状況

に下フランジのPC鋼材破断により終局に至った。なお、B-1, B-2ともに、中立軸位置と曲げモーメントの関係において、ある時点で中立軸位置が急激に上昇しており、特にB-2は、中立軸位置の急上昇以降M-Φの傾きがさらに小さくなっていた。これらは、PC鋼材の付着切れが一要因であると考えられるが、腐食との関係は明確でない。

B-1, B-2両者の試験結果は、M, Φが小さく直線関係にある範囲で概ね一致しており、欠損なしの計算結果とも同程度であり、この範囲では腐食の影響はほとんど見られない。しかし、

M-Φの傾きが緩やかになると、B-1, B-2両者の差が顕著であり、計算結果との差も見られ、B-1, B-2の腐食の程度の違いが顕れたものと考えられる。なお、B-1のM-Φの変曲点は、PC鋼材3本の欠損を考慮した計算結果よりも

高い曲げモーメントで生じていた。図-2に示した破断面の腐食状況が全支間に及んでいないことが、その一因として考えられる。

表-1にB-1, B-2の終局荷重及びひび割れ荷重を示す。表中には、比較のため、鋼材の腐食がある場合との両者について計算値を示す。なお、計算に用いた応力一ひずみ曲線等の物性値は設計に用いたものと同様にした。また、腐食の影響は鋼材のみとし、コンクリートのひび割れ、補修材料の影響は考慮していない。

B-1の曲げ終局荷重Pu,m、曲げひび割れ荷重Pcr,mの実験値は、腐食なしの計算値の70%程度であり、腐食を考慮した計算値とは同程度であった。B-2のPu,m、Pcr,mの実験値は、2本のPC鋼材の欠損にもかかわらず、腐食なしの計算値と同程度であった。B-2のせん断ひび割れ荷重Pcr,vの実験値は、腐食なしの計算値の75%程度であり、腐食を考慮した計算値とは同程度であった。

5.まとめ

プレテンション方式PC桁に図-2に示す腐食がある桁の耐荷性状に関して、以下の結果が得られた。

- (1) M, Φが小さく直線関係にある範囲では、M-Φ曲線にB-1, B-2ともに腐食の影響は見られず、M-Φの傾きが緩やかになると腐食の程度の違いが顕著に見られた。
- (2) 3本のPC鋼材が腐食していたB-1の曲げ耐荷力は、腐食なしとして計算した破壊抵抗曲げモーメント(設計値)の約70%であった。また、2本のPC鋼材が腐食していたB-2の曲げ耐荷力は、同設計値と同程度であった。

参考文献

- 1) 道路橋示方書Ⅲコンクリート橋編、1996.12
- 2) 河野、渡辺ほか：高強度部材の設計法に関する共同研究報告書－高強度コンクリートPCはり部材の終局曲げ強度、変形性能に関する調査－、建設省土木研究所、プレストレスト・コンクリート建設業協会、1994.3

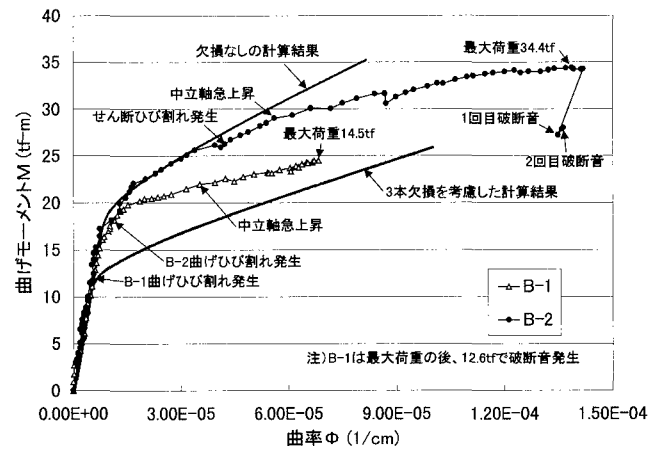


図-3 曲げモーメントと曲率の関係

表-1 B-1, B-2の終局荷重、ひび割れ荷重

供試体	B-1		B-2		
	計算値	実験値	計算値	実験値	
PC鋼材腐食箇所	なし	No.3,7.8	No.3,7.8	なし	No.3.8
支間(m)	8.75		5.50		
せん断スパン(m)	3.375		2.00		
曲げひび割れ荷重 P _{cr,m}	10.7	7.1	7.1	18.0	
曲げ終局荷重 P _{u,m}	20.8	15.3	14.5	35.2	
せん断ひび割れ荷重 P _{cr,v}	22.5	18.0	-	30.7	
P _{cr,v}				26.1	
				26.2	

1) B-2は初期より曲げひび割れが1箇所発生しており、表中の値は2箇所目のひび割れ発生荷重。

2) 曲げひび割れ発生応力度は40kgf/cm²とした。

3) コンクリートの圧縮強度は設計基準強度500kgf/cm²とした。

4) P_{u,m}は道路橋示方書による。5) P_{cr,v}は文献1)2)による。